

## ГОСУДАРСТВЕННЫЙ СТАНДАРТ СОЮЗА ССР

**ДИОДЫ ПОЛУПРОВОДНИКОВЫЕ СВЧ  
ПАРАМЕТРИЧЕСКИЕ И УМНОЖИТЕЛЬНЫЕ****Методы измерения постоянной времени  
и предельной частоты**

Semiconductor microwave varactors and multiplier diodes. Methods of measuring time constant and limiting frequency

**ГОСТ  
19656.9—79**Взамен  
**ГОСТ 19656.9—74****Постановлением Государственного комитета СССР по стандартам от 11 сентября 1979 г. № 3457 срок действия установлен**с 01.01.81  
до 01.01.86**Несоблюдение стандарта преследуется по закону**

Настоящий стандарт распространяется на полупроводниковые СВЧ параметрические и умножительные диоды (далее — диоды) и устанавливает следующие методы измерения постоянной времени и предельной частоты:  $\tau$ ,  $f_{\text{пред}}$ :

метод четырехполюсника;  
метод последовательного резонанса диода;  
резонаторный метод.

Методы измерения постоянной времени и предельной частоты диода учитывают потери в измерительной диодной камере.

Общие условия должны соответствовать ГОСТ 19656.0—74.

**1. МЕТОД ЧЕТЫРЕХПОЛЮСНИКА****1.1. Принцип и условия измерений**

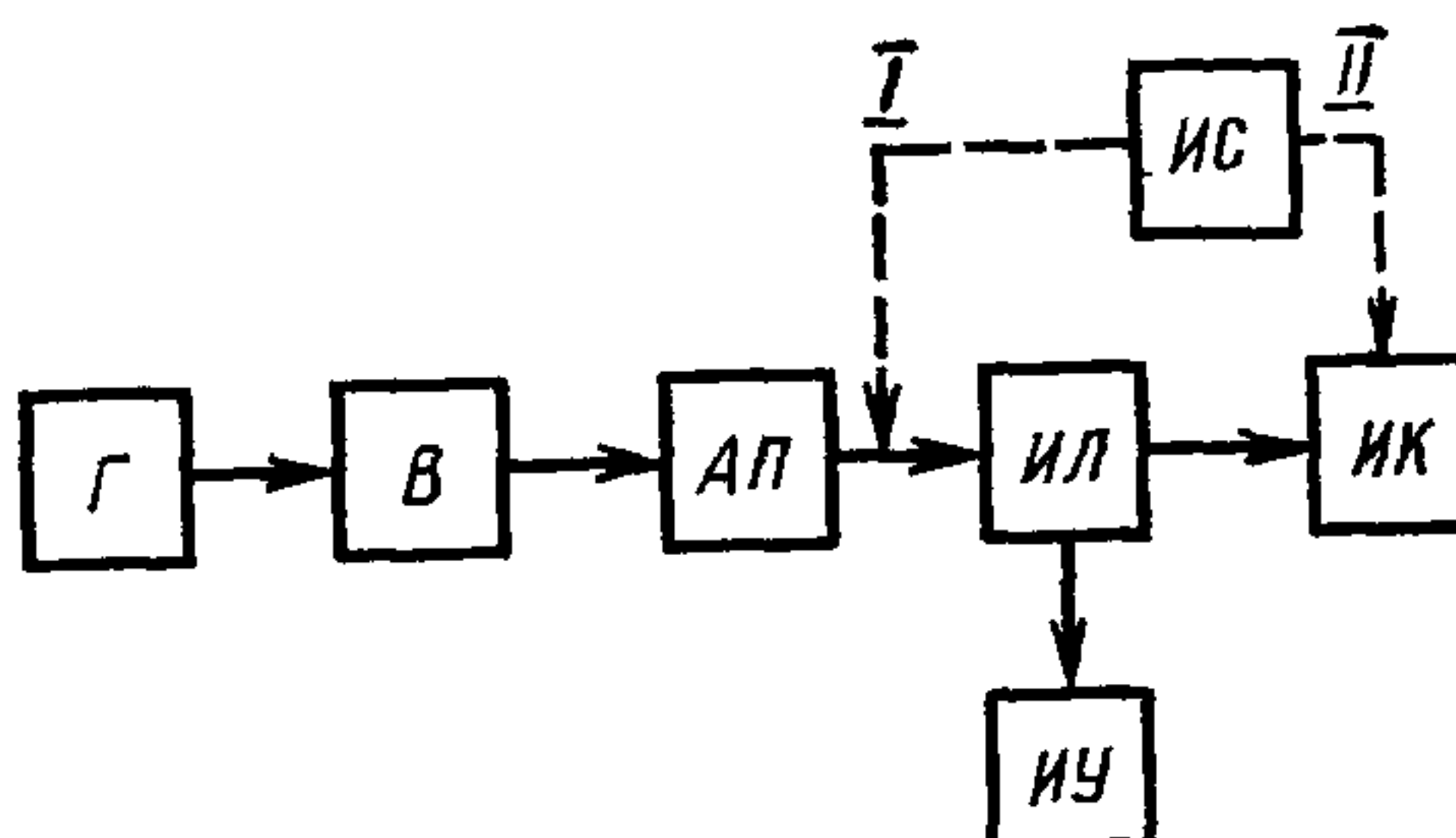
1.1.1. Постоянная времени или предельная частота диода должна определяться из измерения входного комплексного сопротивления измерительной камеры с включенным диодом с учетом коэффициентов пассивного линейного четырехполюсника, которые находят с помощью эквивалентов холостого хода (ХХ) и короткого замыкания (КЗ).

1.1.2. СВЧ-мощность  $P_0$ , частота измерений  $f_0$ , напряжение смещения  $U_{\text{см}}$ , при которых производят измерения, должны приводиться в стандартах и технических условиях на диоды конкретных типов.

**Издание официальное****Перепечатка воспрещена***Переиздание. Октябрь 1984 г.*

## 1.2. Аппаратура

1.2.1. Измерения следует производить на установке, электрическая структурная схема которой приведена на черт. 1.



*Г*—генератор СВЧ мощности; *В*—ферритовый вентиль; *АП*—переменный аттенюатор; *ИЛ*—измерительная линия; *ИУ*—измерительный усилитель; *ИК*—измерительная камера; *ИС*—источник напряжения смещения (варианты I, II подачи напряжения смещения определяются конструкцией измерительной камеры)

Черт. 1

1.2.2. Эквивалентом ХХ является корпус диода, в котором полупроводниковая структура не подсоединенна к выводу диода или отсутствует.

Эквивалентом КЗ является корпус диода, в котором осуществлено короткое замыкание в месте установки полупроводниковой структуры без изменения внутренней геометрии корпуса.

Эквиваленты ХХ и КЗ выполняются в соответствии со стандартами и техническими условиями на диоды конкретных типов.

1.2.3. Измерительная линия должна иметь абсолютную погрешность отсчета положения зонда не более  $0,001 \lambda_0$ , где  $\lambda_0$  — длина волны в линии передачи в мм, на которой производят измерение.

1.2.4. Источник напряжения смещения должен удовлетворять следующим требованиям:

обеспечивать плавную установку и поддержание заданного напряжения смещения с погрешностью в пределах  $\pm 2\%$ ;

коэффициент пульсации напряжения смещения при токе нагрузки до 10 мА не должен превышать 0,1%.

1.2.5. Измерительный усилитель должен иметь чувствительность по напряжению не более 10 мкВ.

1.2.6. Измерительная камера в зависимости от диапазона частот должна обеспечивать коэффициент стоячей волны по напряжению ( $K_{стU}$ ) с эквивалентами ХХ и КЗ:

диапазон частот измерения, ГГц	$K_{\text{ст}U}$ , не менее
40—80	20
20—40	30
10—20	50
5—10	80
менее 5	100

$K_{\text{ст}U}$  камеры с измеряемым диодом не менее 1,2 при заданном напряжении смещения.

Измерение  $K_{\text{ст}U}$  производят методом удвоенного минимума в соответствии с рекомендуемым приложением 1.

### 1.3. Подготовка и проведение измерений

1.3.1. Устанавливают заданный режим измерений по частоте  $f_0$  и мощности  $P_0$ .

1.3.2. Находят положение минимума стоячей волны с эквивалентом ХХ —  $l_{\text{XX}}$  в мм и измеряют  $K_{\text{ст}U_{\text{XX}}}$ .

Находят положение плоскости отсчета  $l_{\text{п.о.}}$  в мм по формуле

$$l_{\text{п.о.}} = l_{\text{XX}} \pm \frac{\lambda_0}{4}. \quad (1)$$

1.3.3. Находят положение минимума стоячей волны с эквивалентом КЗ, ближайшее к плоскости отсчета, и измеряют расстояние до плоскости отсчета  $l_{\text{КЗ}}$  в мм и  $K_{\text{ст}U_{\text{КЗ}}}$ .

Определяют угол сдвига минимума стоячей волны по напряжению  $|\varphi_1|$  относительно плоскости отсчета при напряжении  $U_{\text{см1}}$

$$|\varphi_1| = \frac{2\pi}{\lambda_0} \cdot |l_{\text{min}}|,$$

где  $l_{\text{min}}$ , мм.

Если  $|\varphi_1| > 45^\circ$ , то проводят дополнительные измерения при  $U_{\text{см2}}$ , при котором  $|\varphi_2| < 45^\circ$ .

### 1.4. Обработка результатов

1.4.1. Определяют постоянную времени диода  $\tau$  в секундах по одной из формул:

при  $|\varphi_1| \leqslant 45^\circ$

$$\tau = \frac{\frac{1}{K_{\text{ст}U}} - \frac{1 + (R_{\text{пос}} \cdot K_{\text{ст}U_{\text{XX}}} - 1) \cdot \cos^2 \left( \frac{2\pi}{\lambda_0} \cdot l_{\text{min}} \right)}{K_{\text{ст}U_{\text{XX}}}}}{2\pi f_0 \cdot \cos^2 \left( \frac{2\pi}{\lambda_0} \cdot l_{\text{min}} \right) \left[ \operatorname{tg} \left( \frac{2\pi}{\lambda_0} \cdot l_{\text{КЗ}} \right) - \operatorname{tg} \left( \frac{2\pi}{\lambda_0} \cdot l_{\text{min}} \right) \right]}, \quad (2)$$

где  $f_0$  — частота измерений, Гц;

$R_{\text{пос}}$  — расчетная величина, определяемая по формуле

$$R_{\text{пос}} = \frac{1}{K_{\text{стU}_{K3}} \cdot \cos^2\left(\frac{2\pi}{\lambda_0} \cdot l_{K3}\right) \cdot \left[ 1 + \frac{\operatorname{tg}^2\left(\frac{2\pi}{\lambda_0} \cdot l_{K3}\right)}{K_{\text{стU}_{XX}}^2} \right] - \frac{\operatorname{tg}^2\left(\frac{2\pi}{\lambda_0} \cdot l_{K3}\right)}{K_{\text{стU}_{XX}}}}; \quad (3)$$

при  $45^\circ \leq |\varphi_1| \leq 80^\circ$

$|\varphi_2| \leq 45^\circ$

$$\tau = \frac{\frac{1}{K_{\text{стU}_2}} - \frac{1 + (R_{\text{пос}} \cdot K_{\text{стU}_{XX}} - 1) \cdot \cos^2\left(\frac{2\pi}{\lambda_0} \cdot l_{\min_2}\right)}{K_{\text{стU}_{XX}}}}{2\pi f_0 \cdot \cos^2\left(\frac{2\pi}{\lambda_0} \cdot l_{\min_2}\right) \cdot \left[ \operatorname{tg}\left(\frac{2\pi}{\lambda_0} \cdot l_{K3}\right) - \operatorname{tg}\left(\frac{2\pi}{\lambda_0} \cdot l_{\min_1}\right) \right]}, \quad (4)$$

где  $K_{\text{стU}_1}$ ,  $K_{\text{стU}_2}$  — коэффициенты стоячей волны по напряжению при напряжении смещения  $U_{\text{см}_1}$ ,  $U_{\text{см}_2}$  соответственно;

$l_{\min_1}$ ,  $l_{\min_2}$  — расстояния от плоскости отсчета до положения минимума стоячей волны по напряжению при  $U_{\text{см}_1}$  и  $U_{\text{см}_2}$  соответственно, мм;

при  $|\varphi_1| > 80^\circ$  и  $|\varphi_2| \leq 45^\circ$

$$\tau = \frac{q \left[ \frac{1}{K_{\text{стU}_2}} - \frac{1 + (R_{\text{пос}} \cdot K_{\text{стU}_{XX}} - 1) \cdot \cos^2\left(\frac{2\pi}{\lambda_0} \cdot l_{\min_2}\right)}{K_{\text{стU}_{XX}}} \right]}{2\pi f_0 \cdot \cos^2\left(\frac{2\pi}{\lambda_0} \cdot l_{\min_2}\right) \left[ \operatorname{tg}\left(\frac{2\pi}{\lambda_0} \cdot l_{K3}\right) - \operatorname{tg}\left(\frac{2\pi}{\lambda_0} \cdot l_{\min_1}\right) \right]}, \quad (5)$$

где  $q = \frac{C_{\text{пер}_1}}{C_{\text{пер}_2}}$  — отношение емкостей перехода при смещении

$U_{\text{см}_1}$  и  $U_{\text{см}_2}$  соответственно;

$C_{\text{пер}_1}$ ,  $C_{\text{пер}_2}$  — емкость перехода при смещении  $U_{\text{см}_1}$  и  $U_{\text{см}_2}$ , измеренная по ГОСТ 18986.4—73, Ф,

$U_{\text{см}_1}$  и  $U_{\text{см}_2}$  — приводят в стандартах или технических условиях на диоды конкретных типов.

1.4.2. Предельную частоту  $f_{\text{пред}}$  диода в Гц определяют по формуле

$$f_{\text{пред}} = \frac{1}{2\pi\tau}. \quad (6)$$

1.5. Погрешность измерения постоянной времени и предельной частоты должна быть в пределах  $\pm 15\%$  с доверительной вероятностью  $P^* = 0,997$  и определяется по формулам (1) и (2) справочного приложения 2.

## 2. МЕТОД ПОСЛЕДОВАТЕЛЬНОГО РЕЗОНАНСА ДИОДА

### 2.1. Принцип и условия измерений

2.1.1. Постоянная времени или предельная частота на частоте последовательного резонанса диода должна определяться:

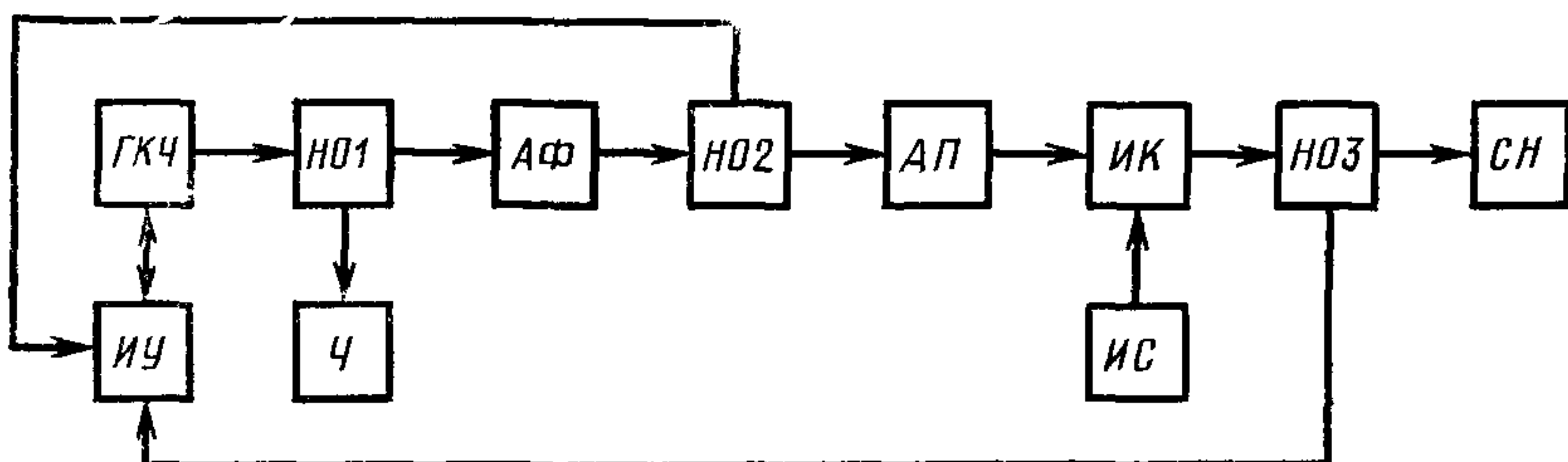
измерением частот  $f_1$  и  $f_2$  амплитудно-частотной характеристики измерительной камеры с диодом, на которых мощность в А раз больше, чем на резонансной частоте;

измерением ослабления  $T$  измерительной камеры с диодом на резонансной частоте  $f_{кд}$  и измерением ослабления  $T_n$  измерительной камеры без диода на той же частоте.

2.1.2. СВЧ-мощность  $P_0$ , частота измерений  $f_{кд}$ , напряжение смещения  $U_{см}$ , при которых производят измерения, должны приводиться в стандартах или технических условиях на диоды конкретных типов.

### 2.2. Аппаратура

2.2.1. Измерения следует производить на установке, электрическая структурная схема которой приведена на черт. 2.



*ГКЧ*—генератор качающейся частоты; *ИУ*—индикаторное устройство; *НО1*, *НО2*, *НО3*—направленные ответвители; *АФ*—фиксированный аттенюатор; *Ч*—частотомер; *АЛ*—переменный аттенюатор; *ИК*—измерительная камера; *ИС*—источник напряжения смещения; *СН*—согласованная нагрузка

Черт. 2

2.2.2. Генератор ГКЧ и индикаторное устройство ИУ, входящие в состав автоматического измерителя  $K_{см}U$ , и ослабления, должны удовлетворять ГОСТ 16423—78.

2.2.3. Погрешность измерения частоты частотометром Ч должна быть в пределах  $\pm 0,01\%$  — при измерении полосы частот  $f_1$ ,  $f_2$  и не более  $0,5\%$  — при измерении ослабления  $T$ .

2.2.4. Направленные ответвители *НО1*, *НО2*, *НО3* должны отвечать следующим требованиям:

направленность не менее 25 дБ;

переходное ослабление должно быть в пределах 10—30 дБ;

$K_{стУ}$  входа и выхода не более 1,15.

2.2.5. Аттенюатор  $A\Phi$  должен иметь ослабление в пределах 5—10 дБ и  $K_{стУ}$  не более 1,2.

2.2.6. Переменный аттенюатор  $AP$  должен иметь пределы изменения ослабления 0—40 дБ с погрешностью установки ослабления  $(0,15 \pm 0,005T)$ , где  $T$  — вводимое ослабление в дБ,  $K_{стУ}$  аттенюатора не более 1,25.

2.2.7. Источник напряжения смещения  $IS$  должен удовлетворять требованиям п. 1.2.3.

2.2.8. Согласованная нагрузка  $CH$  должна иметь  $K_{стУ}$  не более 1,1 в полосе резонансных частот измеряемых диодов.

2.2.9. Измерительная камера  $IK$  при измерении полосы частот  $f_1 f_2$  должна удовлетворять следующим требованиям:

высота волновода в плоскости включения измеряемого диода должна быть равна высоте корпуса диода. В случае коаксиальной линии расстояние между внутренним и внешним проводниками должно быть равно высоте корпуса диода;

$K_{стУ}$  камеры в полосе резонансных частот должен быть не более 1,2;

камера должна обеспечивать подачу на диод постоянного напряжения смещения;

значение измеряемого сигнала на частоте последовательного резонанса должно превышать уровень помех не менее чем на 3 дБ;

ослабление камеры с диодом на частоте последовательного резонанса должно быть не менее 6 дБ.

2.2.10. Измерительная камера  $IK$  при измерении ослабления  $T$  должна удовлетворять следующим требованиям:

камера в плоскости включения диода должна иметь волновое сопротивление  $Z_0$ , которое указывается в стандартах или технических условиях на измерительную установку;

камера должна иметь элементы настройки, позволяющие осуществить последовательный резонанс камеры с диодом и без диода на частоте  $f_{кд}$ , заданной в стандартах или технических условиях на диоды конкретных типов;

$K_{стУ}$  камеры на частоте  $f_{кд}$  — не более 1,06 при условиях, исключающих влияние элементов настройки.

Камера должна обеспечивать выполнение условия

$$T_n \geqslant 10T.$$

## 2.3. Подготовка и проведение измерений

2.3.1. Устанавливают заданный режим измерений по мощности  $P_0$  и частоте.

2.3.2. Калибруют генератор качающейся частоты и индикаторное устройство по ослаблению в соответствии с нормативно-технической документацией.

2.3.3. Устанавливают в измерительную камеру диод и подают напряжение смещения  $U_{\text{см}}$ . Настраивают генератор качающейся частоты на резонансную частоту.

2.3.4. При измерении полосы частот расстрояивают генератор в режиме ручной перестройки частоты в сторону верхних частот и измеряют частоту  $f_2$ , на которой мощность на выходе измерительной камеры измеряется в  $A$  раз по сравнению с мощностью в минимуме резонансной характеристики. Аналогично при расстройке в сторону нижних частот измеряют частоту  $f_1$ . Уровень  $A$  отсчитывают по индикаторному устройству или аттенюатору АП.

2.3.5. При измерении ослабления настраивают измерительную камеру с диодом в резонанс на частоте  $f_{\text{кд}}$  и измеряют ослабление  $T$  в минимуме резонансной характеристики. Извлекают диод из камеры и настраивают измерительную камеру без диода в резонанс на частоте  $f_{\text{кд}}$  и измеряют ослабление  $T_n$  в минимуме резонансной характеристики.

#### 2.4. Обработка результатов

2.4.1. Предельную частоту  $f_{\text{пред}}$  в Гц при измерении по п. 2.3.4 определяют по формуле

$$f_{\text{пред}} = \frac{f_1 \cdot f_2 \sqrt{A-1}}{f_2 - f_1}, \quad (7)$$

где  $f_1, f_2$  — измеренные частоты, Гц;

$A$  — уровень, показывающий, во сколько раз изменена мощность на выходе измерительной камеры при расстройке генератора до частот  $f_1$  и  $f_2$  по сравнению с мощностью на частоте последовательного резонанса диода.

2.4.2. Предельную частоту при измерении по п. 2.3.5 определяют по формуле

$$f_{\text{пред}} = \frac{\frac{C_{\text{пер}}}{C_{\text{кон}}}}{\pi Z_0 \cdot C_{\text{кон}} \left( 1 + \frac{C_{\text{пер}}}{C_{\text{кон}}} - 4f_{\text{кд}}^2 \pi^2 L_{\text{пос}} C_{\text{пер}} \right)^2 \left( \frac{1}{\sqrt{T-1}} - \frac{1}{\sqrt{T_n-1}} \right)}, \quad (8)$$

где  $Z_0$  — волновое сопротивление камеры в плоскости включения диода, Ом;

$C_{\text{пер}}$  — емкость перехода диода при заданном напряжении смещения, измеренная по ГОСТ 18986.4—73, Ф;

$C_{\text{кон}}$  — конструктивная емкость диода указывается в стандартах или технических условиях на диоды конкретных типов, Ф;

$L_{\text{пос}}$  — последовательная индуктивность диода указывается в стандартах или технических условиях на диоды конкретных типов, Гн;

$T, T_b$  — ослабления, измеренные по п. 2.3.4, в разах;

$f_{\text{кд}}$  — частота измерения, заданная в стандартах или технических условиях на диоды конкретных типов, Гц.

2.4.3. Постоянную времени  $\tau$  в секундах определяют по формуле

$$\tau = \frac{1}{2\pi f_{\text{пред}}} . \quad (9)$$

2.5. Погрешность измерения постоянной времени и предельной частоты должна быть в пределах  $\pm 15\%$  с доверительной вероятностью  $P^* = 0,997$  и определяется по формулам (3), (4) справочного приложения 2.

### 3. РЕЗОНАТОРНЫЙ МЕТОД

#### 3.1. Принцип и условия измерений

3.1. Постоянную времени или предельную частоту диода следует определять измерением резонансной частоты камеры с диодом  $f_{\text{кд}}$ , частот  $f_1$  и  $f_2$  на которых мощность на выходе камеры изменяется в  $A$  раз по сравнению с мощностью на частоте резонанса.

3.1.2. СВЧ-мощность  $P_0$ , диапазон резонансных частот напряжение смещения  $U_{\text{см}}$ , при которых производят измерения, должны приводиться в стандартах или технических условиях на диоды конкретных типов.

3.1.3. Частота измерений  $f_{\text{кд}}$  должна удовлетворять условиям

$$f_{\text{кд}} < 0,9f_0; \quad f_{\text{кд}} < 0,25f_p; \quad \frac{c}{f_{\text{кд}}} \geqslant 10h,$$

где  $f_{\text{кд}}$  — резонансная частота измерительной камеры с диодом, Гц;

$f_0$  — резонансная частота измерительной камеры без диода, Гц;

$f_p$  — частота последовательного резонанса, Гц;

$c$  — скорость света, мм/с;

$h$  — высота корпуса диода, мм.

#### 3.2. Аппаратура

3.2.1. Измерения следует производить на установке, электрическая структурная схема которой приведена на черт. 3.

3.2.2. Элементы структурной схемы должны удовлетворять требованиям пп. 2.2.2—2.2.7.

3.2.3. Детекторная секция  $DC$  должна иметь  $K_{\text{ст}U}$  не более 2 в диапазоне рабочих частот.

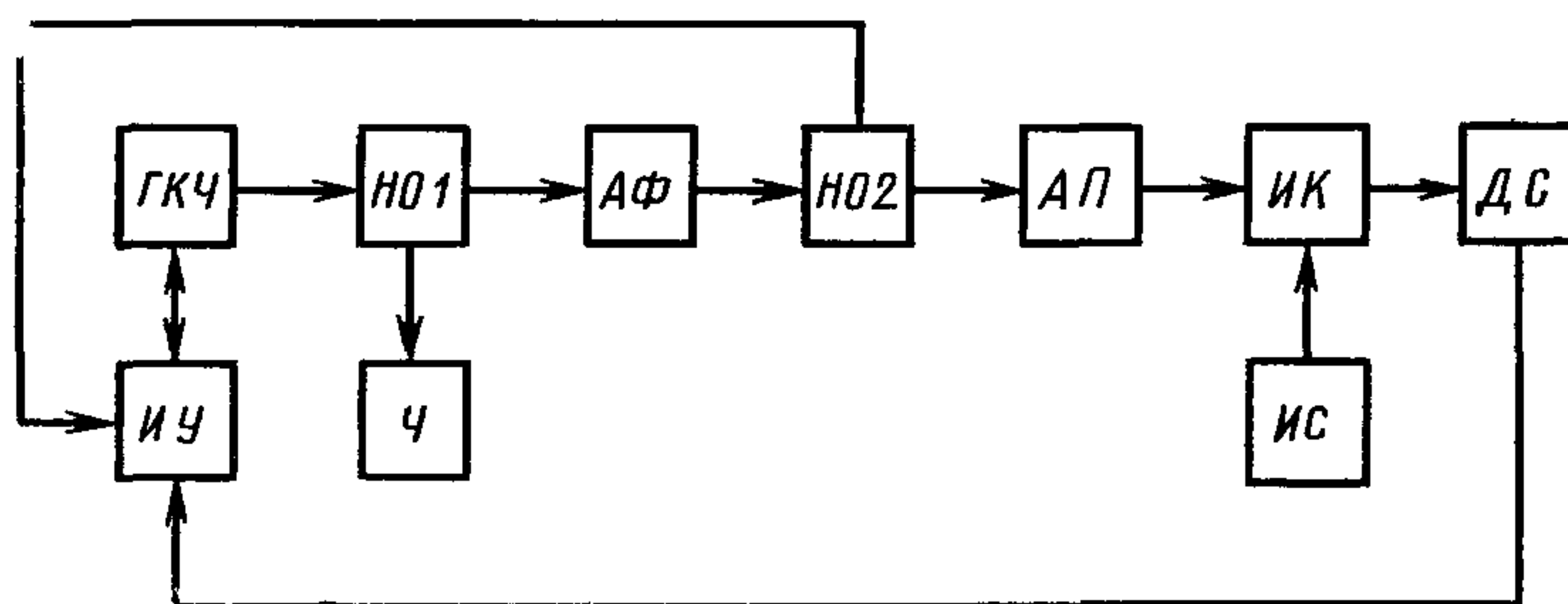
3.2.4. Измерительная камера *ИК* должна удовлетворять следующим требованиям:

обеспечивать подачу на диод постоянного напряжения смещения;

высота промежутка, в который помещают диод, должна быть равна высоте корпуса диода;

полоса пропускания камеры с диодом должна более чем в 3 раза превышать полосу пропускания камеру без диода, настроенной на ту же резонансную частоту с помощью подстроечных элементов;

значение измеряемого сигнала на резонансной частоте должно превышать уровень помех не менее чем на 3 дБ.



*ГКЧ*—генератор качающейся частоты; *ИУ*—индикаторное устройство;  
*Н01*, *Н02*—направленные ответвители; *АФ*—фиксированный аттенюатор;  
*Ч*—частотомер; *АЛ*—переменный аттенюатор; *ИК*—измерительная камера; *ИС*—источник напряжения смещения; *ДС*—детекторная секция

Черт. 3

### 3.3. Подготовка и проведение измерений

3.3.1. Устанавливают заданный режим измерений по мощности и частоте.

3.3.2. Калибруют генератор качающейся частоты и индикаторное устройство по ослаблению. Конкретный порядок калибровки должен приводиться в стандартах или технических условиях на измерительную установку.

3.3.3. Устанавливают в измерительную камеру диод и подают напряжение смещения  $U_{\text{см}}$ .

Настраивают генератор качающейся частоты на резонансную частоту и измеряют частоту  $f_{\text{нд}}$ .

Расстраивают генератор качающейся частоты в сторону верхних частот и измеряют частоту  $f_2$ , на которой мощность на выходе измерительной камеры изменяется в  $A$  раз по сравнению с мощностью на резонансной частоте камеры с диодом. Аналогично при расстройке генератора качающейся частоты в сторону ниж-

них частот измеряют частоту  $f_1$ . Значение  $A$  отсчитывают по индикаторному устройству и аттенюатору АП. Определяют полосу частот в Гц по формуле

$$2\Delta f_{\text{кд}} = f_2 - f_1.$$

### 3.4. Обработка результатов

3.4.1. Предельную частоту диода  $f_{\text{пред}}$  в Гц определяют по формуле

$$f_{\text{пред}} = \frac{\left(1 - \frac{f_{\text{кд}}^2}{f_0^2}\right) \cdot \sqrt{A - 1 \cdot f_{\text{кд}}^2}}{(1 - 4\pi^2 f_{\text{кд}}^2 \cdot L_{\text{пос}} \cdot C_{\text{пер}}) \left[1 + \frac{C_{\text{кон}}}{C_{\text{пер}}} (1 - 4\pi^2 f_{\text{кд}}^2 \cdot L_{\text{пос}} \cdot C_{\text{пер}})\right] (2\Delta f_{\text{кд}} - 2\Delta f_k)}, \quad (10)$$

где  $f_0$  — резонансная частота камеры без диода определяется при аттестации измерительной камеры, Гц;

$L_{\text{пос}}$  — последовательная индуктивность диода указывается в стандартах или технических условиях на диоды конкретных типов, Гн;

$C_{\text{кон}}$  — конструктивная емкость диода указывается в стандартах и технических условиях на диоды конкретных типов, Ф;

$C_{\text{пер}}$  — емкость перехода диода при заданном напряжении смещения измеряется по ГОСТ 18986.4—73, Ф;

$2\Delta f_k$  — полоса частот измерительной камеры без диода, настроенной на частоту  $f_{\text{кд}}$  с помощью подстроечных элементов. Определение  $2\Delta f_k$  в Гц производится методом, аналогичным изложенному в п. 3.3.3.

3.4.2. Постоянную времени диода определяют в соответствии с п. 2.4.3.

### 3.5. Показатели точности измерения

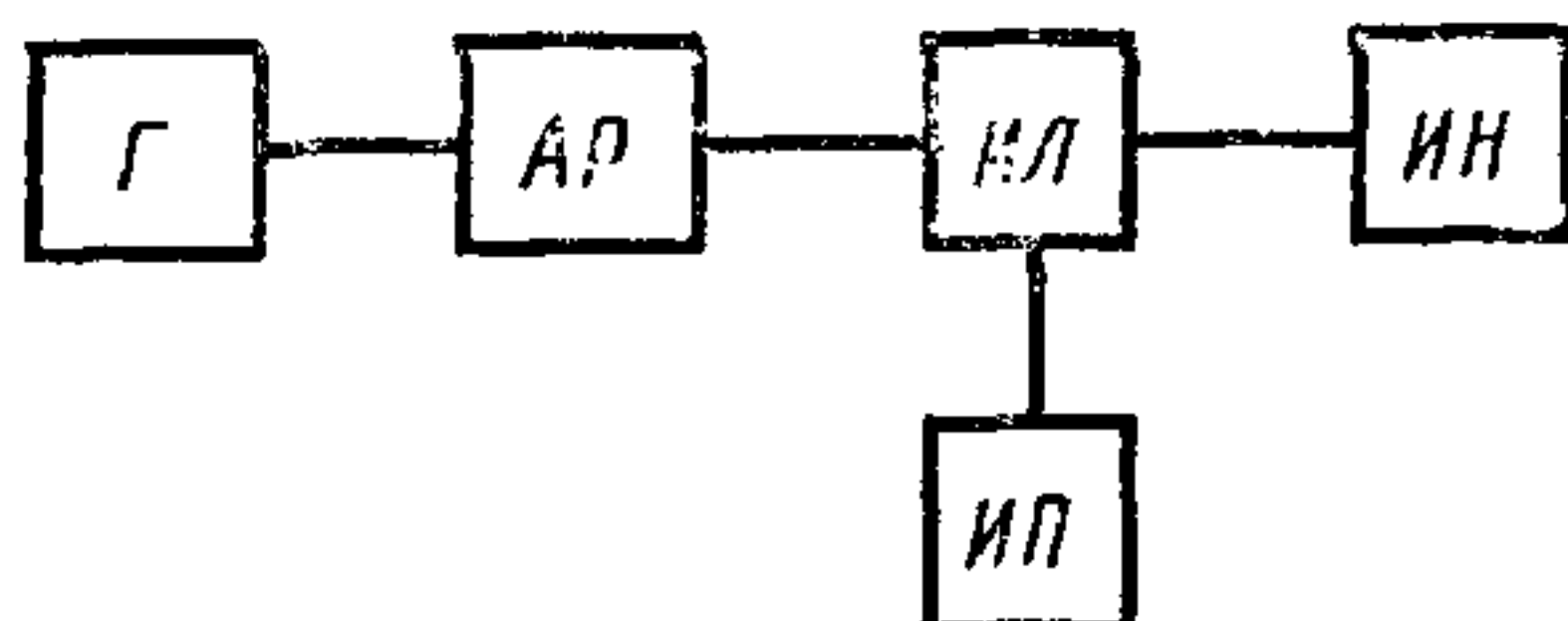
3.5.1. Погрешность измерения постоянной времени и предельной частоты должна быть в пределах  $\pm 15\%$  с доверительной вероятностью  $P^* = 0,997$  и определяется по формуле (5) справочного приложения 2.

ПРИЛОЖЕНИЕ I  
Рекомендуемое

**ИЗМЕРЕНИЕ  $K_{ctU}$  МЕТОДОМ УДВОЕННОГО МИНИМУМА**

1. Для измерения больших  $K_{ctU}$  может быть использован метод «удвоенного минимума», основанный на измерении поля вблизи минимума стоячей волны напряжения.

2. Измерение производится на установке, электрическая структурная схема которой приведена на черт. 1.



*Г*—генератор СВЧ мощности; *АР*—аттенюатор развязывающий; *ИЛ*—измерительная линия; *ИН*—измеряемая нагрузка; *ИП*—индикаторный прибор

Черт. 1

3. Измерение производят следующим образом:

установить каретку измерительной линии (зонд) в минимум напряженности поля стоячей волны;

определить расстояние  $\Delta l$  между двумя положениями зонда по обе стороны минимума  $U_{min}$ , в которых показания индикатора в два раза больше показания индикатора в минимуме  $U_1$  (черт. 2);

вычислить  $K_{ctU}$  по формуле

$$K_{ctU} = \sqrt{1 + \frac{1}{\sin^2 \frac{\pi \Delta l}{\lambda_0}}}, \quad (1)$$

где  $\Delta l$  — расстояние между двумя положениями зонда, мм;

$\lambda_0$  — длина волны в линии передачи, на которой производят измерение, мм.

При  $\frac{\pi \Delta l}{\lambda_0} < 0,12$  и квадратичности детектора линии формулу (1) можно заменить более простой формулой

$$K_{ctU} = \frac{\lambda_0}{\pi \Delta l}. \quad (2)$$

При этом ошибка при вычислении не будет превышать 1%.

Относительную погрешность измерения  $K_{ctU}$  методом удвоенного минимума можно определить по формуле

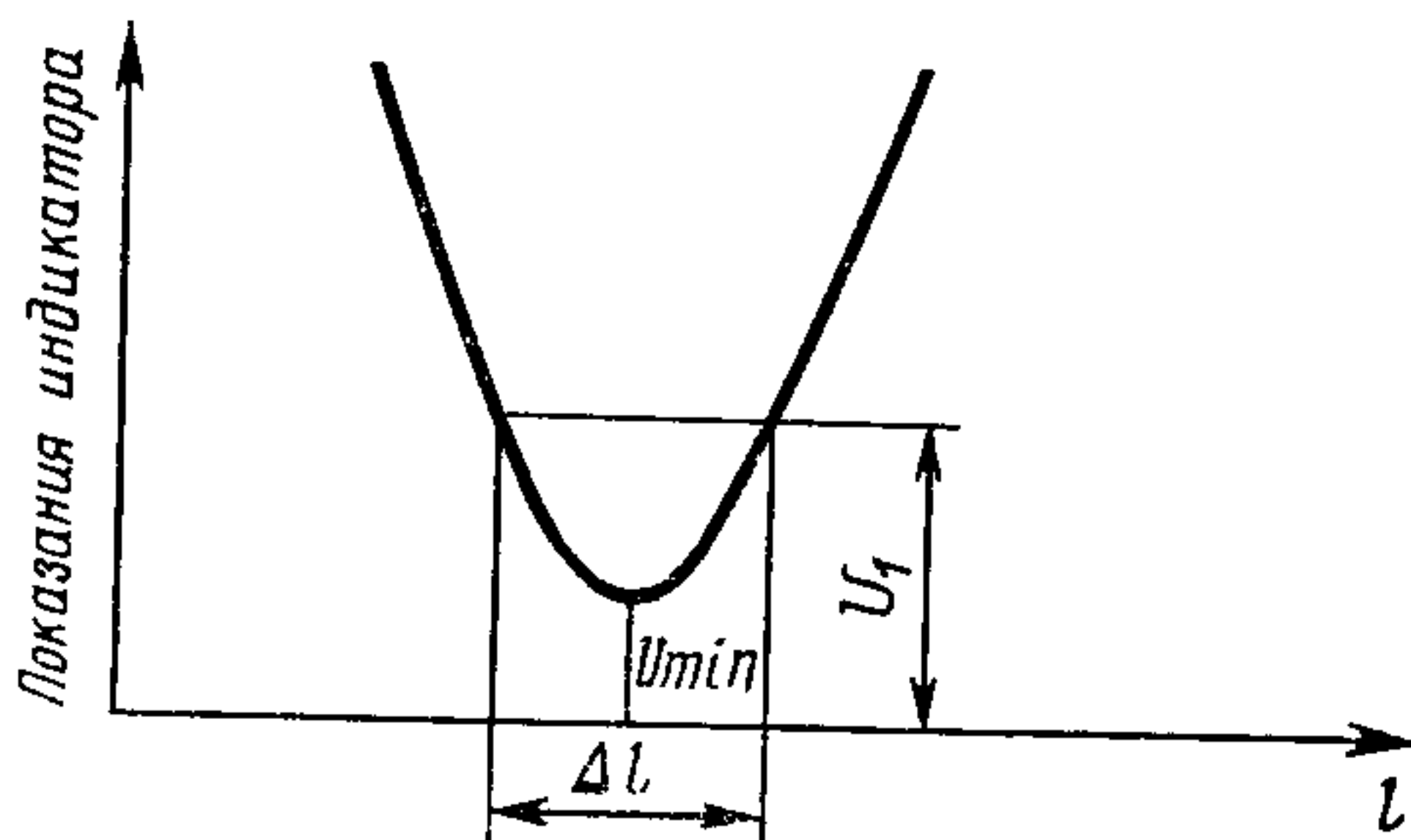
$$\delta K_{ctU} = \sqrt{(a \cdot \delta m)^2 + (b \cdot \delta \Delta l)^2 + (b \cdot \delta \lambda_0)^2}, \quad (3)$$

где

$$a = \frac{m^2}{m_2 - \cos^2 \left( \frac{\pi}{\lambda_0} \Delta l \right)}; \quad (4)$$

$$b = \frac{\operatorname{ctg}\left(\frac{\pi}{\lambda_0} \Delta l\right)}{1 + \sin^2\left(\frac{\pi}{\lambda_0} \Delta l\right)} \cdot \left( \frac{\pi}{\lambda_0} \Delta l \right); \quad (5)$$

$\delta m$  — относительная погрешность измерения отношения напряжений;  
 $\delta \Delta l$  — относительная погрешность измерения расстояния между двумя положениями зонда;  
 $\delta \lambda_0$  — относительная погрешность измерения длины волны в линии.



Черт. 2

## ПРИЛОЖЕНИЕ 2

### Справочное

## РАСЧЕТ ПОГРЕШНОСТИ ИЗМЕРЕНИЯ ПОСТОЯННОЙ ВРЕМЕНИ И ПРЕДЕЛЬНОЙ ЧАСТОТЫ

### 1. Метод четырехполюсника

1.1. Погрешность измерения постоянной времени, определяемой по формулам (2) и (4) настоящего стандарта, рассчитывается по формуле

$$\delta \tau = \sqrt{\left( \frac{K_{ctUXX}}{A} \cdot \delta K_{ctU} \right)^2 + (m \delta K_{ctUXX})^2 + (n \delta R_{пос})^2 + (p \delta l_{min})^2 + \delta f^2 + (\gamma \delta l_{K3})^2}, \quad (1)$$

где  $A$ ,  $m$ ,  $n$ ,  $p$ ,  $\gamma$  — определяют по формулам

$$A = K_{ctUXX} - K_{ctU} [1 + (R_{пос} \cdot K_{ctUXX} - 1) \cos^2 \left( \frac{2\pi}{\lambda_0} l_{min} \right)];$$

$$m = \frac{K_{ctU} \cdot \sin^2 \left( \frac{2\pi}{\lambda_0} \cdot l_{min} \right)}{A};$$

$$n = \frac{K_{\text{ctU}} \cdot K_{\text{ctUXX}} \cdot R_{\text{пос}} \cdot \cos^2 \left( \frac{2\pi}{\lambda_0} \cdot l_{\min} \right)}{A};$$

$$p = \frac{2\pi l_{\min} (K_{\text{ctU}} - K_{\text{ctUXX}}) \sin \left( \frac{4\pi}{\lambda_0} l_{\min} \right)}{\lambda_0 A \cos^2 \left( \frac{2\pi}{\lambda_0} l_{\min} \right)} +$$

$$+ \frac{2\pi l_{\min}}{\lambda_0 \cos^2 \left( \frac{2\pi}{\lambda_0} l_{\min} \right) \left[ \left( \operatorname{tg} \left( \frac{2\pi}{\lambda_0} l_{\text{K3}} \right) - \operatorname{tg} \left( \frac{2\pi}{\lambda_0} l_{\min} \right) \right]};$$

$$\gamma = \frac{2\pi l_{\text{K3}}}{\lambda_0 \cos^2 \left( \frac{2\pi}{\lambda_0} l_{\text{K3}} \right) \left[ \operatorname{tg} \left( \frac{2\pi}{\lambda_0} l_{\text{K3}} \right) - \operatorname{tg} \left( \frac{2\pi}{\lambda_0} l_{\min} \right) \right]}.$$

$\delta l_{\min}$ ;  $\delta l_{\text{K3}}$ ;  $\delta f$ ;  $\delta K_{\text{ctU}}$  — относительные погрешности соответствующих величин, обозначенных в соответствии с пп. 1.3.2—1.3.4 настоящего стандарта.

Погрешность  $\Delta R_{\text{пос}}$  определяется по формуле

$$\delta R_{\text{пос}} = \sqrt{(L \cdot \delta K_{\text{ctU}_{\text{K3}}})^2 + (M \cdot \delta K_{\text{ctU}_{\text{XX}}})^2 + (N \delta l_{\text{K3}})^2},$$

где  $L$ ,  $M$ ,  $N$  — определяются по формулам

$$L = \frac{\operatorname{tg}^2 \left( \frac{2\pi}{\lambda_0} \cdot l_{\text{K3}} \right) - K_{\text{ctU}_{\text{K3}}}^2}{\operatorname{tg}^2 \left( \frac{2\pi}{\lambda_0} \cdot l_{\text{K3}} \right) + K_{\text{ctU}_{\text{K3}}}^2} \cdot \frac{K_{\text{ctU}_{\text{XX}}}}{K_{\text{ctU}_{\text{XX}}} \cdot K_{\text{ctU}_{\text{K3}}} - \sin^2 \left( \frac{2\pi}{\lambda_0} \cdot l_{\text{K3}} \right)} \cdot \frac{K_{\text{ctU}_{\text{K3}}}}{\left[ K_{\text{ctU}_{\text{K3}}}^2 + \operatorname{tg}^2 \left( \frac{2\pi}{\lambda_0} \cdot l_{\text{K3}} \right) \right]};$$

$$M = \frac{\left[ K_{\text{ctU}_{\text{K3}}}^2 + \operatorname{tg}^2 \left( \frac{2\pi}{\lambda_0} \cdot l_{\text{K3}} \right) \right] \cdot \sin^2 \left( \frac{2\pi}{\lambda_0} \cdot l_{\text{K3}} \right)}{K_{\text{ctU}_{\text{XX}}} \cdot K_{\text{ctU}_{\text{K3}}} - \sin^2 \left( \frac{2\pi}{\lambda_0} \cdot l_{\text{K3}} \right) \left[ K_{\text{ctU}_{\text{K3}}}^2 + \operatorname{tg}^2 \left( \frac{2\pi}{\lambda_0} \cdot l_{\text{K3}} \right) \right]};$$

$$N = \frac{2\pi}{\lambda_0} \cdot l_{\text{K3}} \cdot \frac{\left[ 2\operatorname{tg} \left( \frac{2\pi}{\lambda_0} \cdot l_{\text{K3}} \right) \cdot \left[ K_{\text{ctU}_{\text{K3}}}^2 + \operatorname{tg}^2 \left( \frac{2\pi}{\lambda_0} \cdot l_{\text{K3}} \right) \right] - \frac{1}{\cos^2 \left( \frac{2\pi}{\lambda_0} \cdot l_{\text{K3}} \right)} \right]}{K_{\text{ctU}_{\text{K3}}}^2 + \operatorname{tg}^2 \cdot \left( \frac{2\pi}{\lambda_0} \cdot l_{\text{K3}} \right)} -$$

$$- \frac{\sin \left( \frac{4\pi}{\lambda_0} \cdot l_{\text{K3}} \right) \cdot \left[ K_{\text{ctU}_{\text{K3}}}^2 + \operatorname{tg}^2 \left( \frac{2\pi}{\lambda_0} \cdot l_{\text{K3}} \right) \right] + 2 \cdot \operatorname{tg}^3 \left( \frac{2\pi}{\lambda_0} \cdot l_{\text{K3}} \right)}{K_{\text{ctU}_{\text{XX}}} \cdot K_{\text{ctU}_{\text{K3}}} - \sin^2 \left( \frac{2\pi}{\lambda_0} \cdot l_{\text{K3}} \right) \left[ K_{\text{ctU}_{\text{K3}}}^2 + \operatorname{tg}^2 \left( \frac{2\pi}{\lambda_0} \cdot l_{\text{K3}} \right) \right]}.$$

где  $\delta K_{\text{ст}U_{XX}}$ ,  $\delta K_{\text{ст}U_{K3}}$  — относительные погрешности измерения  $K_{\text{ст}U_{XX}}$  и  $K_{\text{ст}U_{K3}}$ .

1.2. Погрешность измерения постоянной времени, определяемой по формуле (5) настоящего стандарта, рассчитывается по формуле

$$\delta\tau = \sqrt{\left(\frac{K_{\text{ст}U_{XX}}}{A} \cdot \delta K_{\text{ст}U}\right)^2 + (m\delta K_{\text{ст}U_{XX}})^2 + (n\delta R_{\text{пос}})^2 + (p\delta l_{\min})^2 + \delta f^2 + (\gamma\delta l_{K3})^2 + \delta q^2}, \quad (2)$$

где  $A$ ;  $m$ ;  $n$ ;  $p$ ;  $\gamma$  — определяются по формулам, указанным в п. 1.1 настоящего приложения.

Погрешность измерения  $\delta q$  определяется по формуле

$$\delta q = \sqrt{2(\delta C_{\text{пер}})^2},$$

где  $\delta C_{\text{пер}}$  — относительная погрешность емкостей  $C_{\text{пер}_1}$  и  $C_{\text{пер}_2}$ .

1.3. Пример расчета погрешности формул (1) и (2) настоящего приложения.

1.3.1. Исходные данные для расчета  $\lambda_0=32$  мм;  $\delta\lambda_0=0,5\%$ ;  $l_{K3}=4,3$  мм;  $\delta l_{K3}=0,745\%$ ;  $K_{\text{ст}U_{K3}}=80$  ( $\Delta l_{K3}=0,127$  мм;  $\delta\Delta l_{K3}=25,2\%$ );  $K_{\text{ст}U_{XX}}=80$  ( $\Delta l_{XX}=0,127$  мм;  $\delta\Delta l_{XX}=25,2\%$ );  $\delta m=1,5\%$ ;  $l_{\min}=3,2$  мм;  $\delta l_{\min}=1\%$ ;  $K_{\text{ст}U}=15$  ( $\Delta l=0,68$  мм;  $\delta\Delta l=4,7\%$ );  $R_{\text{пос}}=0,0124$  Ом;  $\delta q=7\%$ .

1.3.2.

$$\delta K_{\text{ст}U_{K3}}=\delta K_{\text{ст}U_{XX}}=\sqrt{(2 \cdot 1,5)^2+25,2^2+0,5^2}=25,4\%;$$

$$\delta K_{\text{ст}U}=\sqrt{(2,0 \cdot 1,5)^2+4,7^2+0,5^2}=5,6\%;$$

$$\delta R_{\text{пос}}=\sqrt{(2,28 \cdot 25,4)^2+(1,28 \cdot 25,4)^2+(0,008 \cdot 0,745)^2}=66,5\%.$$

1.3.3. Подставляя полученные значения в формулу (1), получим

$$\delta\tau=\sqrt{\left(\frac{80}{65} \cdot 5,6\right)^2+(0,08 \cdot 25,4)^2+(0,15 \cdot 66,5)^2+(1,49 \cdot 1)^2+0,5^2+(4,8 \cdot 0,75)^2}=12,9\%.$$

1.3.4. Подставляя полученные значения в формулу (2), получим

$$\delta\tau=\sqrt{\left(\frac{80}{65} \cdot 5,6\right)^2+(0,08 \cdot 25,4)^2+(0,15 \cdot 66,5)^2+(1,49 \cdot 1)^2+0,5^2+(4,8 \cdot 0,75)^2+\dots}=14,6\%.$$

## 2. Метод последовательного резонанса диода

2.1. Погрешность измерения предельной частоты, определяемой по формуле (7) настоящего стандарта, рассчитывается по формуле

$$\delta f_{\text{пред}}=\sqrt{\left(\delta f_1 \cdot \frac{f_2}{f_2-f_1}\right)^2+\left(\delta f_2 \cdot \frac{f_1}{f_2-f_1}\right)^2+\left[\delta A \cdot \frac{A}{2(A-1)}\right]^2}, \quad (3)$$

где  $\delta f_1$ ;  $\delta f_2$  — относительные погрешности измерения частоты частотомером, %;  $\delta A$  — относительная погрешность измерения уровня  $A$ , %.

2.2. Погрешность измерения предельной частоты, определяемой по формуле (8) настоящего стандарта, рассчитывается по формуле

$$\delta f_{\text{пред}} = \sqrt{(a \cdot \delta C_{\text{пер}})^2 + (b \cdot \delta C_{\text{кон}})^2 + (\delta Z_0)^2 + (c \cdot \delta T)^2 + (d \cdot \delta T_n)^2 + (e \cdot \delta L_{\text{пос}})^2}, \quad (4)$$

где  $a; b; c; d; e$  — определяют по формулам

$$a = \frac{1 - \frac{C_{\text{пер}}}{C_{\text{кон}}} + 4\pi^2 f_{\text{кд}}^2 L_{\text{пос}} \cdot C_{\text{пер}}}{1 + \frac{C_{\text{пер}}}{C_{\text{кон}}} - 4\pi^2 f_{\text{кд}}^2 L_{\text{пос}} \cdot C_{\text{пер}}} ;$$

$$b = \frac{-2(1 - 4\pi^2 f_{\text{кд}}^2 \cdot L_{\text{пос}} \cdot C_{\text{пер}})}{1 + \frac{C_{\text{пер}}}{C_{\text{кон}}} - 4\pi^2 f_{\text{кд}}^2 L_{\text{пос}} \cdot C_{\text{пер}}} ;$$

$$c = \frac{\sqrt{T}(\sqrt{T_n} - 1)}{2(\sqrt{T} - 1)(\sqrt{T_n} - \sqrt{T})} ; \quad d = -\frac{\sqrt{T_n}(\sqrt{T} - 1)}{2(\sqrt{T_n} - 1)(\sqrt{T_n} - \sqrt{T})} ;$$

$$e = \frac{-8\pi^2 f_{\text{кд}}^2 \cdot L_{\text{пос}} \cdot C_{\text{пер}}}{1 + \frac{C_{\text{пер}}}{C_{\text{кон}}} - 4\pi^2 f_{\text{кд}}^2 \cdot L_{\text{пос}} \cdot C_{\text{пер}}} .$$

$\delta f_{\text{пред}}$ ;  $\delta C_{\text{пер}}$ ;  $\delta C_{\text{кон}}$ ;  $\delta Z_0$ ;  $\delta T$ ;  $\delta T_n$ ;  $\delta L_{\text{пос}}$  — относительные погрешности соответствующих величин в процентах, обозначенных в п. 2.4.2.

Относительная погрешность измерения частоты мала по сравнению с остальными погрешностями и ею можно пренебречь.

### 2.3. Пример расчета погрешности

#### 2.3.1. Исходные данные для расчета формулы (3):

$$f_1 = 1920 \text{ МГц}; \quad f_2 = 1960 \text{ МГц};$$

$$\delta f_1 = \delta f_2 = \pm 0,01\%;$$

$$A = 3,16 \text{ раза (5 дБ);}$$

$$\delta A = \pm 15\% (\pm 0,6 \text{ дБ}).$$

Подставляя приведенные данные в формулу (3), получим

$$\delta f_{\text{пред}} = \sqrt{\left(10^{-2} \cdot \frac{1960}{40}\right)^2 + \left(10^{-2} \cdot \frac{1920}{40}\right)^2 + \left[15 \cdot \frac{3,16}{2(3,16-1)}\right]^2} = \\ = \sqrt{0,24 + 0,23 + 120} + \sqrt{120,47} = 11\% .$$

#### 2.3.2 Исходные данные для расчета по формуле (4):

$$C_{\text{пер}} = 2 \text{ пФ}; \quad \delta C_{\text{пер}} = 5\%;$$

$$C_{\text{кон}} = 0,4 \text{ пФ}; \quad \delta C_{\text{кон}} = 5\%;$$

$$Z_0 = 20 \text{ Ом}; \quad \delta Z_0 = 5\%;$$

$$L_{\text{пос}} = 0,2 \text{ нГн}; \quad \delta L_{\text{пос}} = 35\%;$$

$$T = 63; \quad T_n = 1000;$$

$$\delta T = 10\%; \quad \delta T_n = 10\%; \quad f = 2 \text{ ГГц}.$$

Подставляя приведенные данные в формулу (4), получим

$$\delta f_{\text{пред}} = \sqrt{(0,66 \cdot 5)^2 + (0,297 \cdot 5)^2 + 5^2 + (0,75 \cdot 10)^2 + (0,3 \cdot 10)^2 + (0,022 \cdot 35)^2} = \\ = 10,2\% .$$

### 3. Резонаторный метод

3.1. Погрешность измерения предельной частоты, определяемой по формуле (10) настоящего стандарта, рассчитывается по формуле

$$\delta f_{\text{пред}} = \sqrt{(a \cdot \delta A)^2 + (b \cdot \delta C_{\text{кон}})^2 + (c \cdot \delta C_{\text{пер}})^2 + [d \cdot \delta(2\Delta f_{\text{k}})]^2 + [e \cdot \delta(2\Delta f_{\text{кд}})]^2}, \quad (5)$$

где  $a; b; c; d; e$  — определяют по формулам:

$$a = \frac{1}{2} \cdot \frac{A}{A-1};$$

$$b = \frac{C_{\text{кон}}}{C_{\text{пер}} + C_{\text{кон}}(1 - 4\pi^2 f_{\text{кд}}^2 \cdot L_{\text{пос}} \cdot C_{\text{пер}})} \cdot (1 - 4\pi^2 f_{\text{кд}}^2 L_{\text{пос}} \cdot C_{\text{пер}});$$

$$c = (1 - 4\pi^2 f_{\text{кд}}^2 \cdot L_{\text{пос}} \cdot C_{\text{пер}}) \cdot \frac{C_{\text{кон}}}{C_{\text{пер}} + C_{\text{кон}}(1 - 4\pi^2 f_{\text{кд}}^2 L_{\text{пос}} \cdot C_{\text{пер}})};$$

$$d = \frac{2\Delta f_{\text{k}}}{2\Delta f_{\text{кд}} - 2\Delta f_{\text{k}}};$$

$$e = \frac{2\Delta f_{\text{кд}}}{2\Delta f_{\text{кд}} - 2\Delta f_{\text{k}}};$$

$\delta f_{\text{пред}}$ ;  $\delta A$ ;  $\delta C_{\text{кон}}$ ;  $\delta C_{\text{пер}}$ ;  $\delta(2\Delta f_{\text{кд}})$ ;  $\delta(2\Delta f_{\text{k}})$  — относительные погрешности соответствующих величин в процентах, обозначенных в п. 3.4.1.

Погрешности, вносимые в формулу (5) за счет погрешностей измерения  $f_0$ ;  $f_{\text{кд}}$  и  $L_{\text{пос}}$  малы по сравнению с остальными погрешностями и ими можно пренебречь.

#### 3.2. Пример расчета погрешности

##### 3.2.1. Исходные данные для расчета формулы (5)

$f_{\text{кд}} = 1960$  МГц;  $2\Delta f_{\text{кд}} = 16$  МГц;  $C_{\text{пер}} = 0,8$  пФ;

$A = 3,16$  раза (5 дБ);  $2\Delta f_{\text{k}} = 4$  МГц;

$f_0 = 2400$  МГц;  $C_{\text{кон}} = 0,2$  пФ;  $L_{\text{пос}} = 0,52$  нГн;

$\delta f_{\text{кд}} = \pm 10^{-2}\%$ ;  $\delta A = \pm 15\%$  ( $\pm 0,6$  дБ);

$\delta(2\Delta f_{\text{k}}) = 4,9\%$ ;  $\delta(2\Delta f_{\text{кд}}) = 1,2\%$ ;  $\delta C_{\text{пер}} = \delta C_{\text{кон}} = 5\%$ .

Подставляя полученные данные в формулу (5), получим

$$\begin{aligned} \delta f_{\text{пред}} = & \sqrt{\left[ \frac{3,16 \cdot 15}{2(3,16-1)} \right]^2 + \left[ \frac{0,2 \left( 1 - \frac{1,96^2}{7,84^2} \right) \cdot 5}{0,8 + 0,2 \left( 1 - \frac{1,96^2}{7,84^2} \right)} \right]^2 + } \\ & + \left[ \frac{0,2 \left( 1 - \frac{1,96^2}{7,84^2} \right) \cdot 5}{0,8 + 0,2 \left( 1 - \frac{1,96^2}{7,84^2} \right)} \right]^2 + \left( \frac{4 \cdot 4,9}{16-4} \right)^2 + \left( \frac{16 \cdot 1,2}{16-4} \right)^2 = \sqrt{127,89} = 11,3\%. \end{aligned}$$

Редактор *В. С. Бабкина*  
Технический редактор *В. И. Тушева*  
Корректор *В. М. Смирнова*

Сдано в наб. 08.08.84 Подп. в печ. 30.01.85 4,25 усл. л. л. 4,375 усл. кр.-отт. 4,18 уч.-изд. л.  
Тир. 8000 Цена 20 коп.

Ордена «Знак Почета» Издательство стандартов, 123840, Москва, ГСП, Новопресненский пер., 3  
Тип. «Московский печатник». Москва, Лялин пер., 6. Зак. 818

Цена 20 коп.

Величина	Единица			
	Наименование	Обозначение		
		международное	русское	
<b>ОСНОВНЫЕ ЕДИНИЦЫ СИ</b>				
Длина	метр	m	м	
Масса	килограмм	kg	кг	
Время	секунда	s	с	
Сила электрического тока	ампер	A	А	
Термодинамическая темпера- тура	kelvin	K	К	
Количество вещества	моль	mol	моль	
Сила света	кандела	cd	кд	
<b>ДОПОЛНИТЕЛЬНЫЕ ЕДИНИЦЫ СИ</b>				
Плоский угол	радиан	rad	рад	
Телесный угол	стерадиан	sr	ср	
<b>ПРОИЗВОДНЫЕ ЕДИНИЦЫ СИ, ИМЕЮЩИЕ СПЕЦИАЛЬНЫЕ НАИМЕНОВАНИЯ</b>				
Величина	Единица			
	Наименова- ние	Обозначение		
		междуна- родное	русское	Выражение через основные и до- полнительные единицы СИ
Частота	герц	Hz	Гц	c <sup>-1</sup>
Сила	ньютон	N	Н	м · кг · с <sup>-2</sup>
Давление	паскаль	Pa	Па	м <sup>-1</sup> · кг · с <sup>-2</sup>
Энергия	дюоуль	J	Дж	м <sup>2</sup> · кг · с <sup>-2</sup>
Мощность	ватт	W	Вт	м <sup>2</sup> · кг · с <sup>-3</sup>
Количество электричества	кулон	C	Кл	с · А
Электрическое напряжение	вольт	V	В	м <sup>2</sup> · кг · с <sup>-3</sup> · А <sup>-1</sup>
Электрическая емкость	фарад	F	Ф	м <sup>-2</sup> · кг <sup>-1</sup> · с <sup>4</sup> · А <sup>2</sup>
Электрическое сопротивление	ом	Ω	Ом	м <sup>2</sup> · кг · с <sup>-3</sup> · А <sup>-2</sup>
Электрическая проводимость	сименс	S	См	м <sup>-2</sup> · кг <sup>-1</sup> · с <sup>3</sup> · А <sup>2</sup>
Поток магнитной индукции	зебер	Wb	Вб	м <sup>2</sup> · кг · с <sup>-2</sup> · А <sup>-1</sup>
Магнитная индукция	tesла	T	Тл	кг · с <sup>-2</sup> · А <sup>-1</sup>
Индуктивность	генри	H	Гн	м <sup>2</sup> · кг · с · А <sup>-2</sup>
Световой поток	люмен	lm	лм	кд · ср
Освещенность	люкс	lx	лк	м <sup>-2</sup> · кд · ср
Активность радионуклида	беккерель	Bq	Бк	с <sup>-1</sup>
Поглощенная доза ионизирующего излучения	грэй	Gy	Гр	м <sup>2</sup> · с <sup>-2</sup>
Эквивалентная доза излучения	зиверг	Sv	Зв	м <sup>2</sup> · с <sup>-2</sup>